

V. Zanchi

Elektrotehnički fakultet - Split

## DINAMIKA KONTRAKCIJE MIŠIĆA

### UVOD

Veliki interes vlada za kontroliranu stimulaciju mišića. Detaljno poznavanje dinamičkih karakteristika, električki stimuliranih mišića predmet je mnogih istraživanja(1). Krajnji cilj tih istraživanja je kontrolirano upravljanje skeletnim mišićima kod paraliziranih ljudi.

Električki stimulirani mišići kontrahiraju se i preko koštanog sistema izazivaju zakretni moment. Odnos tog momenta i stimulacijskog napona može se definirati prenosnom funkcijom. Karakter te prenosne funkcije je problem koji se obradjuje u ovom radu.

Izbor prenosne funkcije, koja se bazira na rezultatima mjerjenja, opravdati će se i sa stanovišta kemijske kinetike.

### MJERENJA

Mjerilo se na nozi zdravih ljudi. Mjerena su se sastojala u tome da se je vršila naponska uzbuda mišića Tibialis Anterior i istovremeno se mjerio zakretni moment kojeg razvija stopalo. Izvršena su mjerena fazne karakteristike i mjerena prelazne pojave.

Mjerene fazne karakteristike vršilo se metodom elipse. Kao uzbudni napon koristio se poluvalno ispravljeni sinusno modulirani slijed impulsa. Frekvencije sinusnog napona kod

kojih se mjerilo, bile su  $f = 0,05, 0,1, 0,2$  i  $0,5$  Hz. Impulsi koje moduliramo ponavljaju se frekvencijom od 65 Hz, a trajanje im je 0,3 msek. Rezultirajuće krivulje upisivali smo na X-Y pišaču. Stimulacijski napon dovodio se na X ulaz pisača. Na Y ulaz pisača dovodio se napon koji je proporcionalan momentu što ga razvija stopalo tokom uzbude mišića. Uredjaj za linearno pretvaranje zakretnog momenta u napon konstruiran je u Laboratoriju Zavoda za Medicinsku Elektroniku - Elektrotehnički fakultet - Ljubljana.

Na slici I. dani su rezultati mjerjenja s odgovarajućim podacima. Zbog poluvalne uzbude na slikama imamo samo dio elipse. Takodjer postoje odstupanja od elipse zbog reakcije mišića na uzbudu tek iznad donjeg praga osjetljivosti (2), kao i zbog nepotpune relaksacije osobe na kojoj se vršilo mjerjenje. Na slici I. takodjer su označene veličine  $a$  i  $A$  koje se koriste za proračun faznog zakreta ( $\varphi = \text{arc sin } a/A$ ).

Koristeći podatke krivulja na slici I. dobili smo rezultate za fazni zakret  $\varphi$ , koji su dani u Tablici I.

$f$ [Hz]	0,05	0,1	0,2	0,5
$\varphi$ [ $^\circ$ ]	-0	-8	-18	-90

Tablica I. - Fazni zakret  $\varphi$

Mjerjenje prelazne pojave vršilo se tako da se je stimulirao mišić slijedom impulsa, moduliranih step funkcijom i snimala odzivna funkcija ( zakretni moment stopala ). Napon koji indicira početak stimulacije i napon proporcionalan zakretnom momentu kojeg razvija stopalo ucrtavali su se na traku dvokanalnog pisača.

Rezultati mjerjenja prikazani su na slici 2.

## IZBOR PRENOSA

Imajući u vidu oblik prelazne karakteristike prikazane na slici 2. potražili smo takovu prenosnu funkciju, čiji odziv na step funkciju najbolje aproksimira mjerenjima dobivenu prelaznu pojavu. Spomenuta prenosna funkcija je oblika :

$$W(s) = e^{-s\zeta} \frac{k}{(T_1 s + 1)(T_2 s + 1)} \quad /1/$$

Pri analizi odziva od bitnog je interesa dio za  $t \geq \zeta$ , pa ćemo zbog pojednostavljenja smatrati da odziv počinje u času  $t = \zeta$ , odnosno da je tada  $t = 0$ .

Aperiodički prenos drugog reda  $k/(T_1 s + 1)(T_2 s + 1)$ , imati će odziv na jediničnu step funkciju oblika :

$$h(t) = k \left( 1 - \frac{T_1}{T_1 - T_2} e^{-t/T_1} + \frac{T_2}{T_1 - T_2} e^{-t/T_2} \right) l(t) \quad /2/$$

a odziv na Dirac-ovu funkciju oblika :

$$w(t) = \frac{k}{T_1 - T_2} (e^{-t/T_1} - e^{-t/T_2}) l(t) \quad /3/$$

Analizom funkcije  $h(t)$  i odziva prikazanog na slici 2. dobili smo vrijednosti za konstante :  $\zeta = 0,2$  sek.,  $T_1 = 0,2$  sek.,  $T_2 = 0,08$  sek. i  $k = 18,7 \cdot 10^{-3}$  kp m/V,

Na slici 3. prikazana je mjerena i računana krivulja s usvojenim vrijednostima konstanti.

Zbog veće sigurnosti u tačnost izbora vrijednosti konstanata, a s time i pravilnog izbora prenosa, usporediti ćemo fazni zakret  $\varphi$  koji unosi prenos :

$$\frac{W(s)}{k} = e^{-0,2s} \frac{1}{(0,2s+1)(0,08s+1)} \quad /4/$$

s faznim zakretom  $\varphi$  kojeg smo dobili mjerenjem fazne karakteristike. U Tablici II. dane su vrijednosti za fazni zakret sistema pod /4/.

$f$ [Hz]	0,05	0,1	0,2	0,5
$\varphi$ [°]	-7	-17	-34	-82

Tablica II. - Fazni zakret  $\varphi$

Usporedimo li rezultate za  $\varphi$  i  $\varphi'$  dobivamo zadovoljavajuće podudaranje vrijednosti.

### KINETIKA KEMIJSKIH REAKCIJA

Neposredni izvor energije za kontrakciju mišića je adenozintrifosfat (ATP) (3). On odcepljuje molekulu fosforne kiseline i prelazi u adenozindifosfat (ADP), oslobadjajući pri tome energiju od 11,9 Cal/mol, koja se na nepoznati način transformira u mehaničku energiju. Ta kemijska reakcija je enzimski katalizirana, a aktivira se preko kalcijevih iona. Cio taj kemijski proces započinje, pošto je izvršena stimulacija mišića.

Vremenski period koji prodje od stimulacije do aktivizacije gore spomenutog kemijskog procesa definiran je u prenosu pod /1/ članom  $e^{-st}$ .

Nakon aktivizacije nastupa spomenuta kemijska reakcija. Vremenski tok funkcije količine nastalog produkta tokom te kemijske reakcije trebao bi odgovarati po karakteru funkciji odziva skeletno - mišićnog sistema na step funkciju. Opravdanost te tvrdnje objašnjavamo time što znamo da je količina kemijske energije, a preko nje i mehaničke, koja se razvija tokom kemijske reakcije, proporcionalna količini nastalog produkta.

Opravdanost gornjih razmatranja, potvrdila je usporedba zakona kemijske kinetike s mjerenim dinamičkim karakteristikama. Prema zakonima kemijske kinetike (4), enzimski katalizirana kemijska reakcija može se podijeliti u tri faze, kao što je prikazano na slici 4.

Dio AB odgovara "tranzientnoj fazi" kemijske reakcije i definiran je zakonom :

$$x = K_1 t^2 \quad \text{do } t \leq 10^{-4} \text{ sek} \quad /5/$$

gdje je :  $x$  - količina nastalog produkta  
 $t$  - vrijeme

Dio BC odgovara ustaljenom stanju kemijske reakcije i definiran je Henrijevom jednadžbom, koja za naš slučaj glasi:

$$x = K_2 t \quad /6/$$

Dio CD nastupa s porastom vremena, gdje zbog redukcije enzima količina produkta  $x$  mijenja se s vremenom po zakonu:

$$x = K_3 (1 - e^{-kt}) \quad t \rightarrow \infty \quad /7/$$

Budući da je za nas od bitnog značaja samo karakter vremenske funkcije,  $K_1$ ,  $K_2$ ,  $K_3$  i  $k$  nećemo pobliže definirati.

#### USPOREDBA ZAKONA KEMIJSKE KINETIKE S MJERENOM DINAMIČKOM KARAKTERISTIKOM SKELETNOG MIŠIĆNOG SISTEMA

Želimo pokazati da se funkcija  $h(t)$  u odgovarajućim vremenskim periodima ponaša prema istim zakonima koje daje kemijska kinetika.

Za vrlo mala vremena ( $t \leq 10^{-4}$  sek) analizirati ćemo funkciju  $w(t)$  (pod /3/). Rastavimo li članove  $e^{-t/T}$  u red potencija i zanemarimo članove s višim potencijama, funkcija  $w(t)$  poprima oblik :

$$w(t) = \frac{k}{T_1 T_2} t l(t) \quad \text{za } t \ll \quad /8/$$

Znamo da ako je derivacija funkcije linearna funkcija, originalna funkcija biti će kvadratna funkcija vremena. Prema tome u našem slučaju funkcija  $h(t)$ , biti će kvadratna funkcija vremena za  $t \ll$ , te po obliku odgovara funkciji koja definira "tranzientnu fazu" kemijske reakcije.

Numeričkom analizom funkcije  $h(t)$  pokazalo se da je u vremenskom periodu  $t = 0,1$  do  $0,25$  sek. linearne, što odgovara

BC dijelu krivulje na slici 4., odnosno ustaljenom stanju kemijske reakcije, koja se takodjer odvija po linearnom zakonu.

S porastom vremena  $t \rightarrow \infty$  ( $t > 0,3$  sek.), uticaj člana  $e^{-t/T_2}$  u funkciji  $h(t)$  postaje zanemariv i ta funkcija tada po obliku odgovara dijelu krivulje CD na slici 4. odnosno zakonu kemijske reakcije pod /7/.

#### ZAKLJUČAK

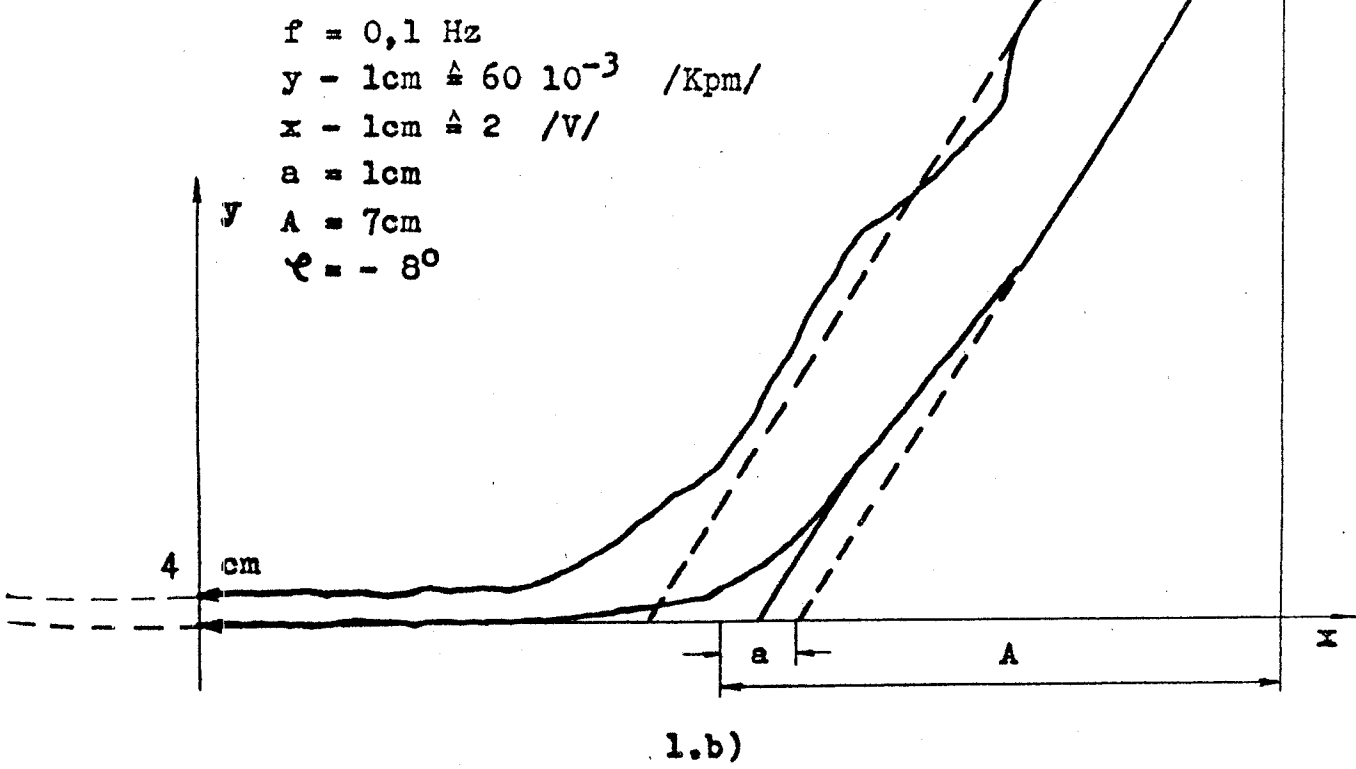
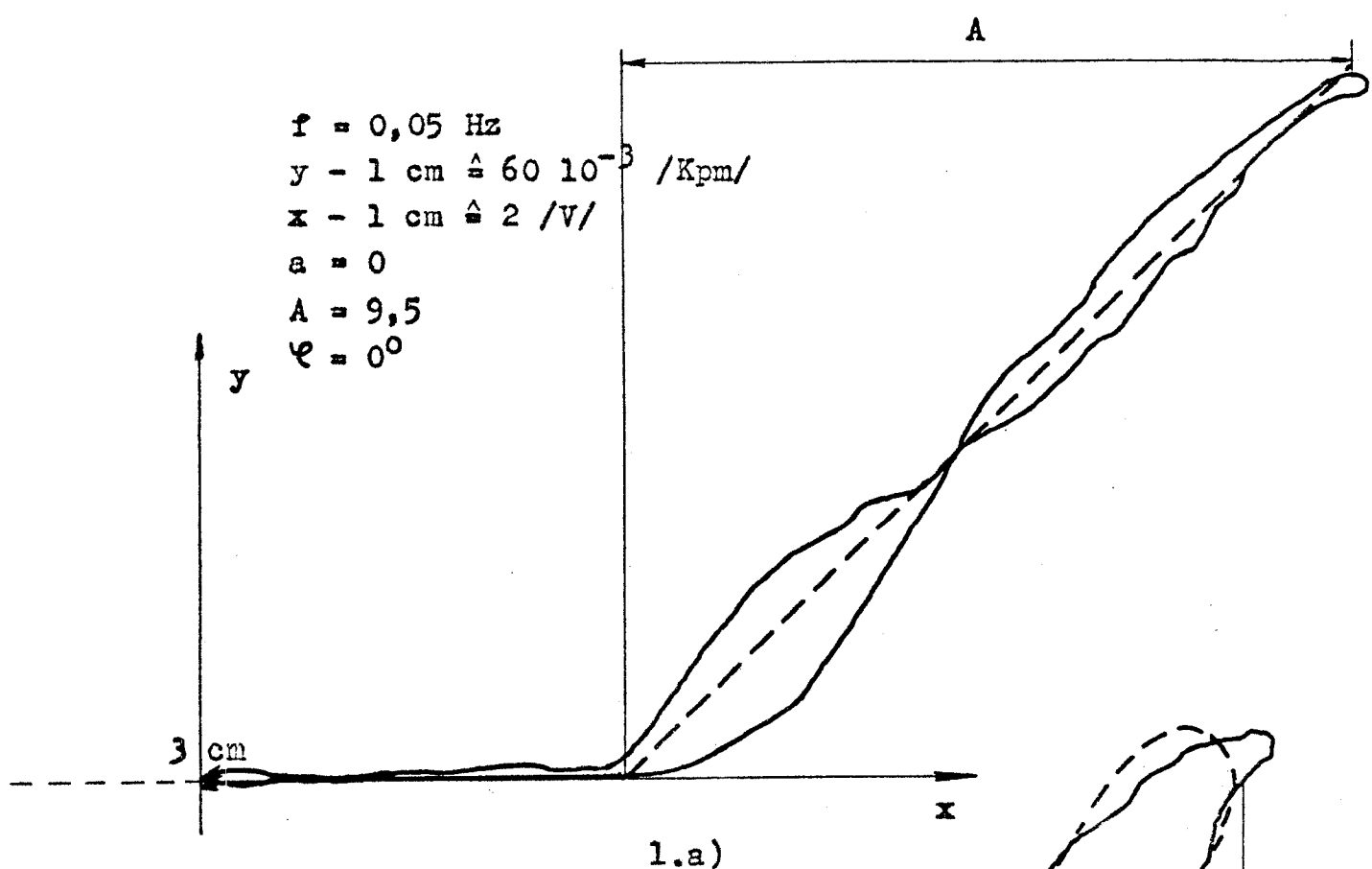
Opravdanost izbora predloženog prenosa potvrđena je dvostrukim mjeranjem. Pretpostavka o proporcionalnoj vezi količine nastalog produkta i razvijenog zakretnog momenta takodjer se pokazala opravданom. Istovremeno zakoni kemijske kinetike opravdavaju izbor prenosa u predloženom obliku.

Na kraju potrebno je primijetiti da je sinteza vršena na temelju rezultata mjeranja kod samo jedne amplitude uzbudnog napona, i da je dobiveni prenos tek linearni model. U dalnjem radu biti će potrebno izvršiti modifikaciju tog modela, budući da mjerenja kod raznih amplituda pokazuju izrazite nelinearnosti.

#### LITERATURA

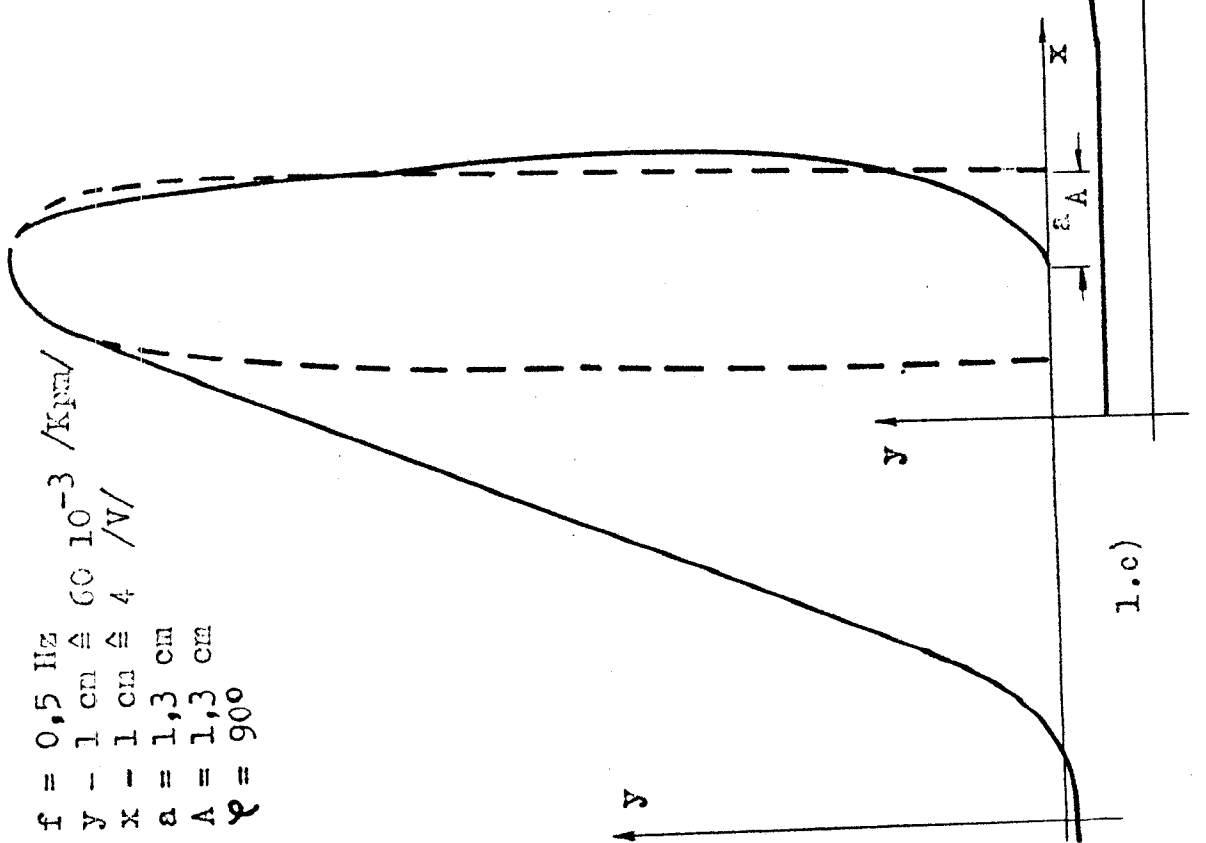
1. L.Vodovnik - The Dynamic Response of a Musculo-Skeletal System due to Electrical Stimulation; Case Institute of Technology, Report No EDC 4-64-10., 1964 g.
2. L.Vodovnik - Osnove Biokibernetike, Univerza v Ljubljani, 1968.
3. Ruch-Patton- Physiology and Biophysics, Saunders Com. 1960.
4. K.J.Laidler- The Chemical Kinetics of Enzyme Action, Oxford University Press, 1958.

Sva mjerenja vršena su u Laboratoriju Zavoda za Medicinsku Elektroniku pri Elektrotehničkom fakultetu u Ljubljani, u okviru ugovora s Ministarstvom SAD-a za zdravstvo, vaspitanje i socialnu zaštitu, projekt SRS - Yugo - 23-68.

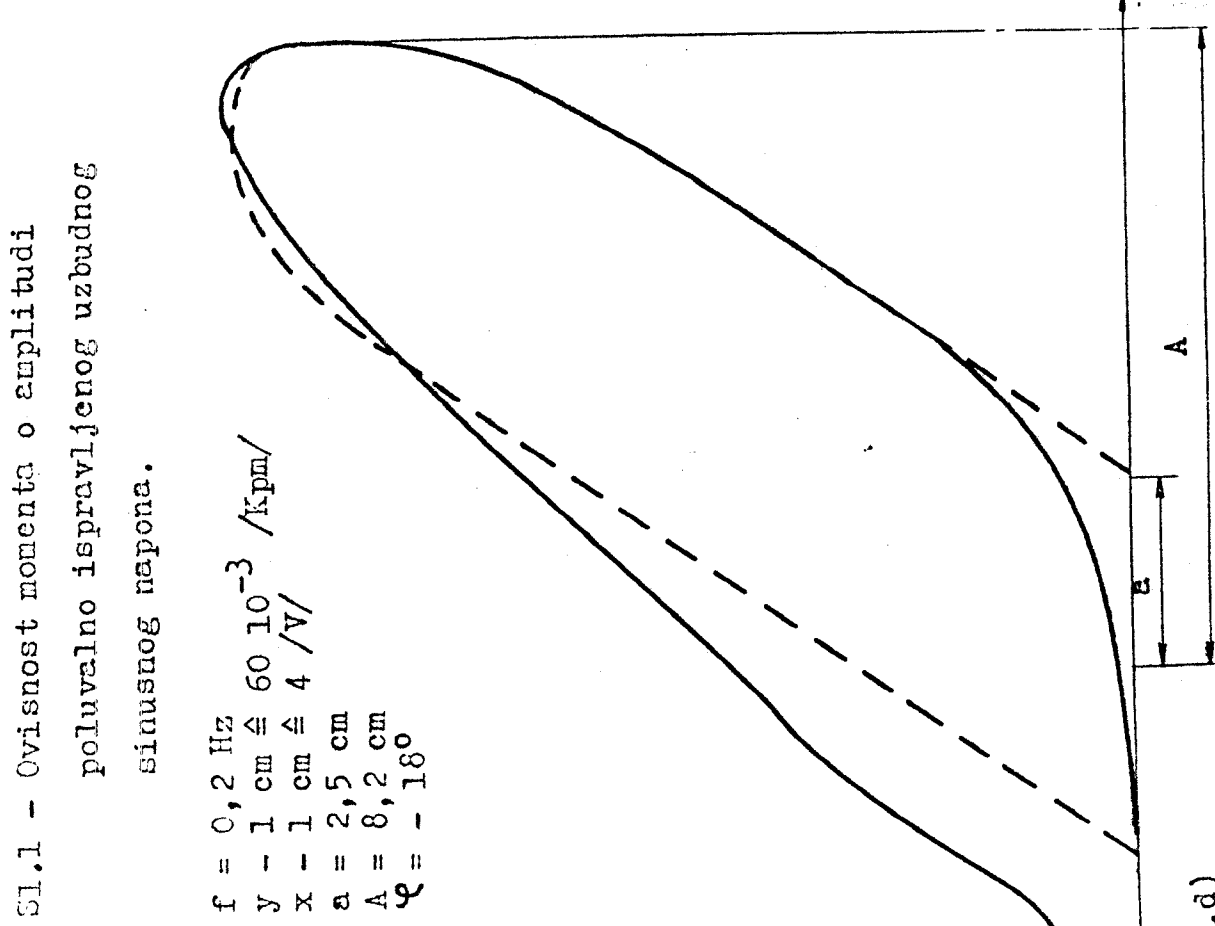


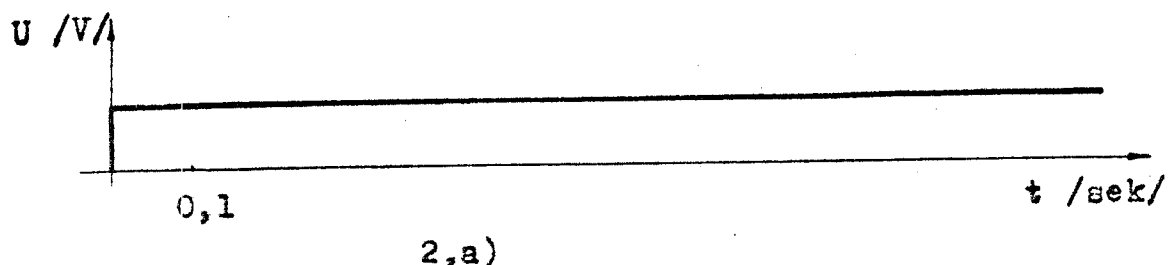
Sl.1 - Ovisnost momenta o amplitudi poluvatno ispravljenog uzbudnog sinusnog napona.

$$\begin{aligned}
 f &= 0,5 \text{ Hz} \\
 y &- 1 \text{ cm} \triangleq 60 \cdot 10^{-3} / \text{Kpm/V} \\
 x &- 1 \text{ cm} \triangleq 4 \\
 a &= 1,3 \text{ cm} \\
 A &= 1,3 \text{ cm} \\
 \varphi &= 90^\circ
 \end{aligned}$$

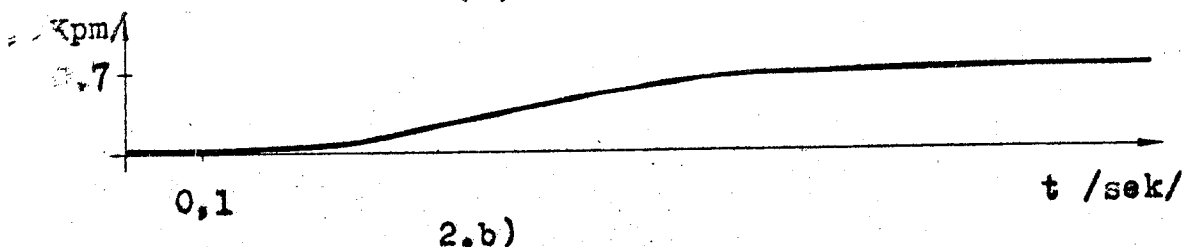


$$\begin{aligned}
 f &= 0,2 \text{ Hz} \\
 y &- 1 \text{ cm} \triangleq 60 \cdot 10^{-3} / \text{Kpm/V} \\
 x &- 1 \text{ cm} \triangleq 4 \\
 a &= 2,5 \text{ cm} \\
 A &= 8,2 \text{ cm} \\
 \varphi &= -18^\circ
 \end{aligned}$$



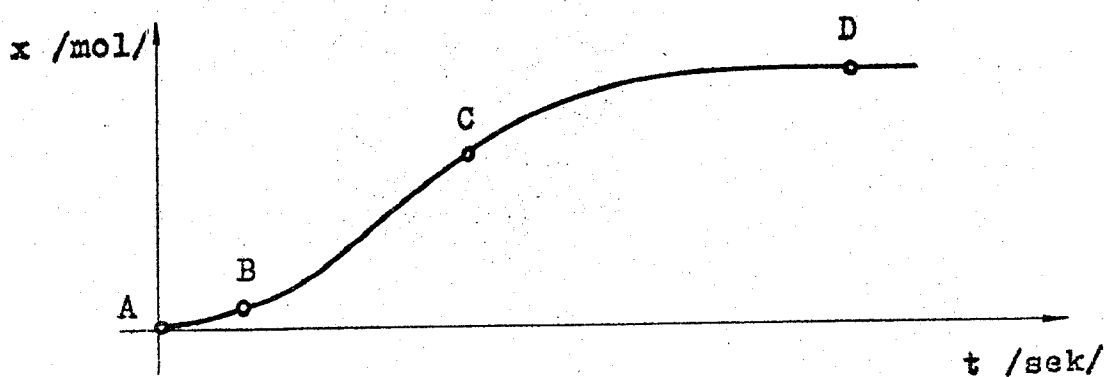


2.a)

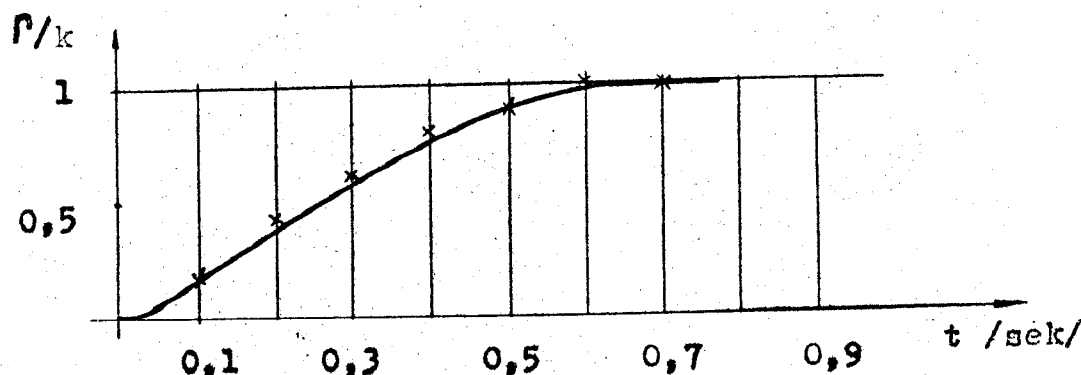


2.b)

- S1.2. - a) Napon koji označava početak uzbude  
b) Odzivna funkcija momenta na impulsnu uzbudu



- S1.3. - Kvalitativni tok kemijske reakcije  
(  $x$  - količina produkta )



- S1.4. - Odzivna funkcija momenta na impulsnu uzbudu  
( — mjerena krivulja,  $\times$  računske vrijednosti  
funkcije  $w(t)/k$  )